

انرژی اتلافی دروازه‌های منطقی در فن آوری QCA

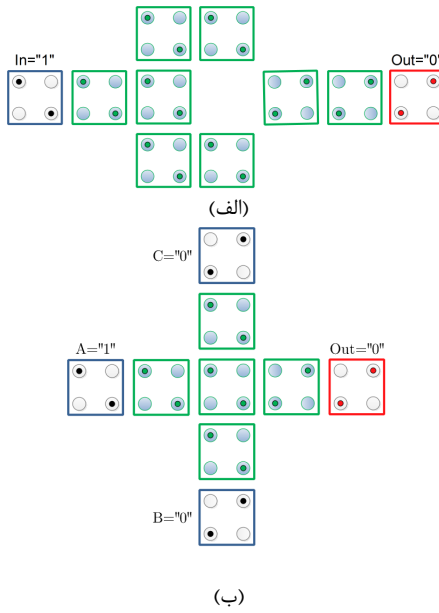
احسان رحیمی^۱، عاطفه سعادت^۲

^۱ دانشکده مهندسی برق دانشگاه شهرود، erahimi@shahroodut.ac.ir

^۲ دانشکده مهندسی برق دانشگاه شهرود، atefesaadat71@gmail.com

چکیده - فن آوری QCA در نانوالکترونیک فن آوری جدیدی است که از آرایش بار الکتریکی برای انجام عملیات منطقی و حسابی استفاده می‌کند. با استفاده از این فن آوری دروازه‌های منطقی و مدارهای منطقی بسیاری پیاده‌سازی شده است. تصور بر این است که در این فن آوری در حالت ایده‌آل به دلیل آن که بار الکتریکی از سلول خارج یا به آن وارد نمی‌شود، جریان الکتریکی و لذا توان اتلافی نداریم. در این پژوهش نشان می‌دهیم که این دروازه‌ها دارای اتلاف توان هستند و انرژی اتلافی را در دروازه‌های مختلف با استفاده از دو روش الکترواستاتیک و ترمودینامیک محاسبه و با یکدیگر مقایسه می‌کنیم. نتایج نشان می‌دهند که افزایش تعداد ورودی‌های دروازه و عدم تقارن تعداد بیت‌های "۰" و "۱" در خروجی باعث افزایش انرژی اتلافی می‌شود.

کلید واژه-دروازه‌های منطقی، فن آوری QCA ، اتلاف توان.

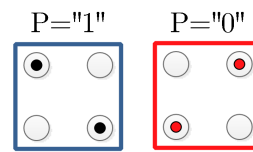


شکل (۲) (الف) ساختار دروازه معکوس کننده (ب) ساختار دروازه اکثریت

الکتریکی از سلول خارج نمی‌شود، جریانی وجود ندارد و در نتیجه در حالت ایده‌آل اتلاف توان نخواهیم داشت [۵-۲]. ما بر این باوریم که تونل زنی بار الکتریکی از هر نقطه کوانتومی به نقطه‌ی کوانتومی دیگر درون سلول تولید جریان الکتریکی می‌کند. همچنین به این دلیل که انرژی مجموعه سلول‌ها در هنگام پردازش حالات باینری تغییر می‌کند، اتلاف توان خواهیم داشت. در این پژوهش با دو رویکرد انرژی الکترواستاتیک و قانون لانداوور در ترمودینامیک اتلاف توان دروازه‌های منطقی فن آوری QCA را محاسبه و با یکدیگر مقایسه می‌کنیم.

۱- مقدمه

اتوماتای سلولی کوانتومی (QCA) فن آوری نوظهور در مقایس نانو است که در مقایسه با فن آوری $CMOS$ دارای افزارهایی با ابعاد بسیار کوچکتر، توان مصرفی کمتر و سرعت بالاتر است و انتظار می‌رود در آینده جایگزین فن آوری $CMOS$ شود. در این فن آوری اعداد با استفاده از آرایش بار الکتریکی درون سلول نمایش داده می‌شوند. هر سلول دارای چهار نقطه کوانتومی و دو بار الکتریکی است. نقاط کوانتومی بار الکتریکی را در خود مرکز می‌کنند. نیروی دافعه بین دو بار الکتریکی، آن‌ها را در دو حالت در نقاط کوانتومی سلول قرار می‌دهند. به هر حالت می‌توان یک رقم دودویی نسبت داد (شکل ۱) [۱].



شکل (۱) نمایش اعداد باینری با آرایش بار الکتریکی درون سلول کوانتومی. سلول سمت راست نمایش "۰" منطقی و سمت چپ نمایش "۱" منطقی.

با کنار هم قرار دادن سلول‌ها، دروازه‌های منطقی ساخته می‌شوند. شکل (۲) ساختار دروازه‌ی اکثریت و معکوس کننده را نشان می‌دهد. مجموعه دروازه‌های منطقی معکوس کننده و اکثریت گروه کامل است. به این معنی که هر تابع منطقی دلخواه را می‌توان با این دروازه‌ها پیاده‌سازی کرد. بسیاری از پژوهشگران این حوزه معتقدند که به دلیل این که بار

در این رابطه، q_i و q_j مبین مقدار دو بار الکتریکی i و j ام در ساختار الکتریکی دروازه و R_{ij} فاصله دو بار از یکدیگر است. برای محاسبه اتلاف توان با این روش، کدی نوشته شده است که ساختار الکتریکی هر دروازه را به صورت یک ماتریس ورودی دریافت می‌کند و اتلاف توان ΔW را با استفاده از رابطه‌ی (۱) به صورت زیر محاسبه می‌کند.

$$\Delta W = |W_a - W_b| \quad (2)$$

در رابطه (۲)، W_a بیانگر انرژی الکترواستاتیک دروازه منطقی بعد از عمل تصمیم‌گیری و W_b انرژی الکترواستاتیک دروازه منطقی قبل از عمل تصمیم‌گیری است. شکل (۳) ساختار الکتریکی دروازه‌های مختلف را قبل و بعد از عمل تصمیم‌گیری نشان می‌دهد.تابع منطقی هر دروازه در جدول (۱) آمده است. انرژی اتلافی محاسبه شده توسط روش الکترواستاتیک برای هر دروازه در جدول (۱) خلاصه شده است. مقادیر انرژی اتلافی به ازای ورودی‌های مختلف محاسبه شده و بیشترین اتلاف مد نظر قرار گرفته است. تعداد سلول‌های موثر در کلید زنی برای هر دروازه در جدول (۱) آمده است. در کلیه محاسبات، هر سلول کوانتومی به صورت مربعی به ضلع ۱۰ نانومتر فرض شده است.

جدول(۱) تابع بولی دروازه‌های QCA

دروازه منطقی	تابع بولی دروازه
$F = \bar{a}$	Inv
$F = a.b + a.c + b.c$	$3Maj$
$F = a.b.c + b.c.d + c.d.e + \dots$	$5Maj$
$F = d.e + (d + e)(\bar{a}.\bar{c} + \bar{a}.b + b.\bar{c})$	AOI
$F = \bar{a}.b + \bar{b}.c + \bar{c}.a$	NNI

جدول(۲) اتلاف انرژی دروازه‌های QCA

دروازه منطقی	تعداد سلول	اتلاف انرژی بر حسب ژول
$2/1 \times 10^{-21}$	۳	Inv
5×10^{-21}	۳	$3Maj$
$1/0.2 \times 10^{-20}$	۵	$5Maj$
$9/35 \times 10^{-19}$	۳	AOI
$2/24 \times 10^{-21}$	۱	NNI

۲-۲- روش ترمودینامیک

اگر یک سامانه‌ی محاسباتی دارای N حالت باشد و احتمال هر حالت را با p_i نشان دهیم، آنتروپی سامانه از رابطه‌ی زیر به

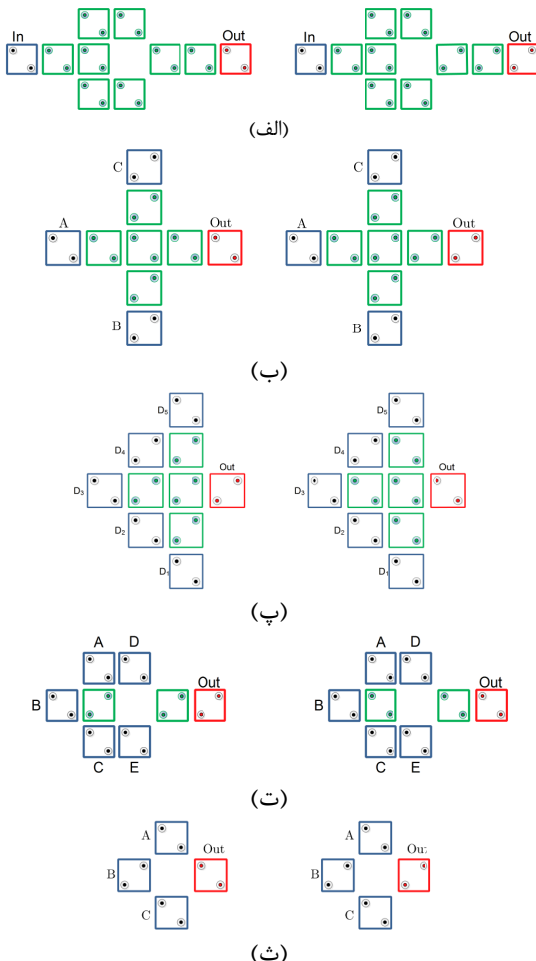
۲- محاسبه اتلاف توان

در این بخش اتلاف توان در دروازه‌های منطقی QCA را با دو روش الکترواستاتیک و ترمودینامیک محاسبه و مقایسه می‌کنیم.

۲-۱- روش الکترواستاتیک

در این روش انرژی مجموعه‌ی بارهای الکتریکی درون سلول‌ها را با استفاده از قانون کولن، قبل و بعد از انجام عمل تصمیم گیری محاسبه کرده و این اختلاف انرژی را به عنوان اتلاف توان عملیات تصمیم گیری در نظر می‌گیریم. انرژی هر ساختار سلولی متشکل از بارهای الکتریکی از رابطه‌ی زیر بدست می‌آید.

$$W = \frac{1}{2} \sum_i^{\text{izj}} \sum_j^{\text{izj}} \frac{1}{4\pi\varepsilon_0} \frac{q_i q_j}{R_{ij}} \quad (1)$$



شکل (۳) ساختار دروازه‌های منطقی قبل از تصمیم‌گیری (سمت چپ) و بعد از تصمیم‌گیری (سمت راست). الف دروازه معکوس کننده (Inv) ، (ب) دروازه اکثربیت سه ورودی ($3Maj$) ، (پ) دروازه اکثربیت پنج ورودی ($5Maj$) ، (ت) دروازه AOI و (ث) دروازه NNI.

دست می‌آید.

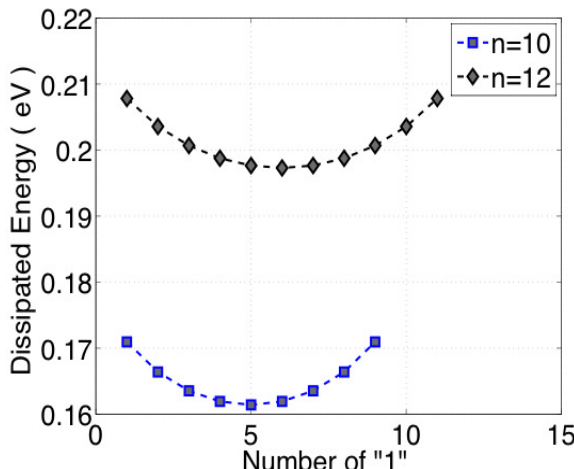
کننده است. محاسبات روش ترمودینامیک نیز صحت موارد فوق را تصدیق می‌کنند. با توجه به این که دروازه‌های مورد مطالعه یک خروجی دارند، با افزایش تعداد ورودی‌ها اختلاف میان آنتروپی خروجی و ورودی افزایش یافته و اختلاف انرژی محاسباتی زیاد می‌شود. نتایج هر دو روش الکترواستاتیک و ترمودینامیک نشان می‌دهند اختلاف انرژی دروازه‌های AOI و اکثربت پنج ورودی تقریباً یکسان هستند.

نکته مهمی که رابطه (۱) دربر دارد، معماری دروازه است که پارامتر $R_{i,j}$ آن را به طور ضمنی توصیف می‌کند. بدین معنی که هر قدر تعداد سلول‌های همسایه با یکدیگر بیشتر شود، دروازه متراکم‌تر شده و $R_{i,j}$ به طور میانگین کاهش می‌ابد. کاهش $R_{i,j}$ ، افزایش انرژی ذخیره شده در توزیع بار الکتریکی را با خود به همراه دارد. لذا تغییر قطبیت هر سلول می‌تواند منجر به آزاد شدن انرژی زیادی شود. انتظار می‌رود دروازه‌های متراکم‌تر اختلاف انرژی بیشتری داشته باشند.

از دیدگاه ترمودینامیکی افزایش تعداد ورودی‌ها با فرض ثابت نگه داشتن تعداد خروجی‌های دروازه، اختلاف انرژی را افزایش می‌دهد. همچنین تعداد بیت‌های "۰" و "۱" در خروجی دروازه حائز اهمیت‌اند. چنانچه دروازه منطقی دلخواه دارای n ورودی و یک خروجی باشد به طوری که تعداد بیت‌های "۱" در بردار خروجی جدول درستی دروازه p تا باشد ($n > p \geq 1$) آنگاه با استفاده از روابط (۳) و (۴) اختلاف انرژی این دروازه برابر است با:

$$\Delta E = k_B T \ln(2) \left(n - \frac{1}{n} \log_2 \frac{n^n (n-p)^{p-1}}{p^p} \right) \quad (5)$$

نمودار شکل (۴) رابطه اختلاف انرژی (۵) را برای دروازه‌های ۱۰ ورودی و ۱۲ ورودی به ازای مقادیر مختلف p نشان می‌دهد.



شکل (۴) نمودار اختلاف انرژی بر حسب تعداد "۱" های منطقی در خروجی دروازه برای دو دروازه منطقی با ۱۰ و ۱۲ ورودی.

$$H = -\sum_{i=1}^{i=N} p_i \log_2 p_i \quad (3)$$

با استفاده از قانون لانداور، و در نظر گرفتن این که کمینه انرژی لازم برای انتقال هر بیت اطلاعات برابر $(2) k_B T \ln(2)$ ژول است، اختلاف انرژی محاسباتی هر سامانه‌ی منطقی از رابطه‌ی زیر به دست می‌آید [۶].

$$\Delta E = -k_B T \ln(2)(H_{out} - H_{in}) \quad (4)$$

در رابطه فوق، H_{in} و H_{out} به ترتیب نشان‌گر آنتروپی خروجی و ورودی سامانه بر حسب بیت هستند.

جدول (۳) آنتروپی ورودی و خروجی دروازه‌های QCA و میزان اختلاف انرژی محاسباتی آن‌ها را نشان می‌دهد.

جدول (۳) اختلاف انرژی دروازه‌های QCA

	دوازه منطقی		
ΔE	H_{in}	H_{out}	
۰	۱	۱	<i>Inv</i>
$5/73 \times 10^{-21}$	۳	۱	<i>۳Maj</i>
$11/47 \times 10^{-21}$	۵	۱	<i>۵Maj</i>
$11/47 \times 10^{-21}$	۵	۱	<i>AOI</i>
$5/73 \times 10^{-21}$	۳	۱	<i>NNI</i>

۳-۲- تحلیل و بحث در نتایج

تحلیل‌های اخیر نشان می‌دهند که در دروازه‌های منطقی در فن‌آوری QCA با وجود آن که بار الکتریکی از سلول خارج نمی‌شود و جریان خارج از سلول وجود ندارد دارای اختلاف انرژی هستند. نتایج اختلاف انرژی حاصل از روش الکترواستاتیک نشان می‌دهد که انرژی اتلافی به تعداد ورودی‌های دروازه منطقی ارتباط زیادی دارد. با افزایش تعداد ورودی‌ها اتلاف انرژی افزایش می‌ابد. دروازه‌های چند ورودی با هدف کوچک‌تر شدن ابعاد مدار و کارایی بیشتر تابع بولی طراحی می‌شوند اما اتلاف انرژی بیشتری نیز دارند. در دروازه‌های معکوس کننده، اکثربت سه‌ورودی و *AOI* تعداد سلول‌هایی که تغییر وضعیت می‌دهند برابر است اما این دروازه‌ها اتلاف انرژی متفاوتی دارند. برای مثال دروازه *AOI* بیشترین میزان اختلاف انرژی را در میان این سه دروازه داراست. نتایج جدول (۲) نشان می‌دهد با وجود آن که ساختار دو دروازه معکوس کننده و *AOI* شبیه یکدیگر است اما انرژی اتلافی دروازه *AOI* حدود صد برابر دروازه معکوس

مراجع

- [1] Tougaw, P.D. and C.S. Lent, *Logical devices implemented using quantum cellular automata*. J. Appl. Phys., 1994. **75**(3): p. 1818-1825.
- [2] Akeela, R. and M.D. Wagh, A Five-input Majority Gate in Quantum-dot Cellular Automata.
- [3] Niemier, M., et al., Data flow in molecular QCA: Logic can "sprint," but the memory wall can still be a "hurdle". University of Notre Dame.
- [4] Snider, G., et al., *Quantum-Dot Cellular Automata: Line and Majority Logic Gate*. Japanese Journal of Applied Physics. **38**(Copyright (C) 1999 Publication Board, Japanese Journal of Applied Physics): p. 7227.
- [5] Niemier, M.T. and P.M. Kogge, *Logic in wire: using quantum dots to implement a microprocessor*. ICECS '99 6th IEEE Int. Conf. Circuits and Systems, 1999. **3**: p. 1211-1215
- [6] Landauer, R „*Irreversibility and Heat Generation in the Computing Process*. IBM Journal of Research and Development, 1961. **5**(3): p. 183-191.

کمینه اتلاف انرژی، ΔE_{\min} ، به ازای $p = \frac{n}{2}$ و بیشینه آن،

به ازای $1 - p = n - 1$ یا $p = n - 1$ به حاصل می‌شود که عبارتند از:

$$\Delta E_{\min} = k_B T \ln(2)(n - \frac{1}{n} \log_2 n^{n-1}) \quad (6)$$

$$\Delta E_{\max} = k_B T \ln(2)(n - \log_2 n) \quad (7)$$

نمودار شکل (۴) و رابطه (۵) بیانگر این واقعیت هستند که با افزایش تعداد دروازه‌های دروازه، اتلاف انرژی افزایش می‌یابد. همچنین بیشترین انرژی اتلافی زمانی اتفاق می‌افتد که تعداد بیت‌های "۱" (یا ".") برابر واحد باشد. هر چه تعداد بیت‌های ". و "۱" در خروجی به هم نزدیک‌تر باشند اتلاف انرژی کمتر است. کمترین مقدار اتلاف انرژی به ازای تعداد مساوی بیت‌های ". و "۱" در خروجی دروازه منطقی اتفاق می‌افتد. در شکل (۴) همان طور که مشخص است برای دروازه‌های ۱۰ و ۱۲ ورودی تعداد "۱" ها باید به ترتیب ۵ و ۶ تا باشد تا اتلاف انرژی کمینه باشد.

۳- نتیجه‌گیری

فن‌آوری *QCA* به منظور انجام محاسبات و عملیات منطقی بدون استفاده از کلید و با رهیافت آرایش بار الکترونیکی به نظر می‌رسد جایگزینی برای فن‌آوری *CMOS* باشد. گرچه در این فن‌آوری کلید جریانی وجود ندارد، اما اتلاف انرژی غیر قابل اجتناب است. در این پژوهش اتلاف انرژی دروازه‌های منطقی *QCA* را با دو روش الکترواستاتیک و ترمودینامیک محاسبه و مقایسه کردیم. نتایج نشان می‌دهند که تعداد دروازه و میزان اختلاف تعداد صفرها با یکهای منطقی در بردار خروجی هر دروازه از عوامل مهم اتلاف انرژی به دو صورت الکترواستاتیکی و ترمودینامیکی هستند.